

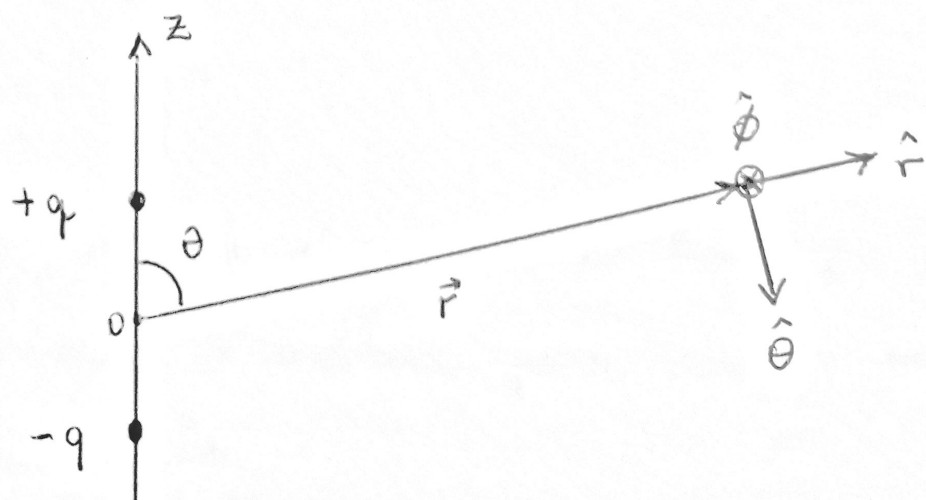
Na aula passada, vimos que um dipolo elétrico dependente do tempo na forma

$$\vec{p}(t) = p_0 \cos(\omega t) \hat{z}$$

produz um campo eletromagnético na zona de radiação que pode ser aproximado por

$$\left\{ \begin{array}{l} \vec{E} \approx -\frac{\mu_0 p_0 \omega^2}{4\pi} \left( \frac{\sin\theta}{r} \right) \cos[\omega(t - \frac{r}{c})] \hat{\theta} \\ \vec{B} \approx -\frac{\mu_0 p_0 \omega^2}{4\pi c} \left( \frac{\sin\theta}{r} \right) \cos[\omega(t - \frac{r}{c})] \hat{\phi} \end{array} \right. \quad (d \ll \lambda \ll r)$$

onde  $d$  é a separação máxima entre as cargas do dipolo,  $\lambda$  o comprimento de onda da radiação emitida e  $r$  a distância entre o centro do dipolo e o ponto de campo.



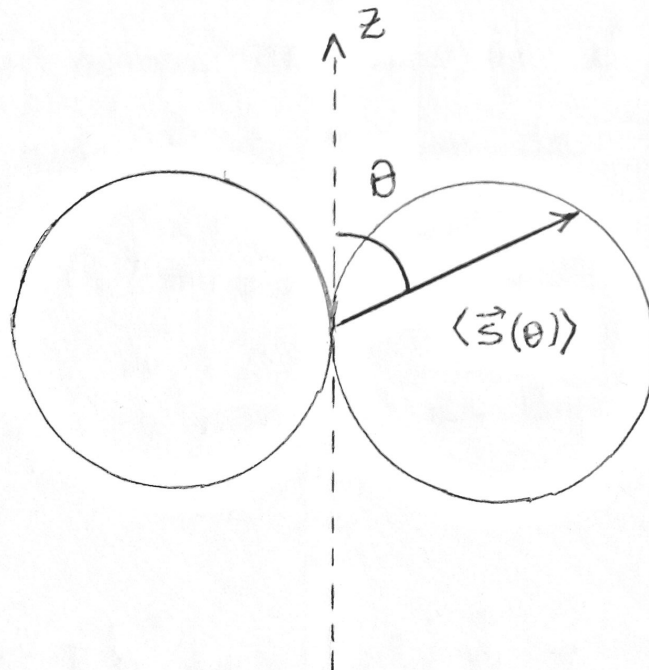
(2)

Na aproximação anterior, mantivemos apenas termos que não com  $1/r$  e, portanto, contribuem com uma quantidade finita de energia num detector arbitrariamente distante do dipolo.

Também vemos que a intensidade da onda eletromagnética associada é dada por

$$\langle \vec{S} \rangle = \frac{\mu_0 p_0^2 \omega^4}{32\pi^2 c} \frac{\sin^2 \theta}{r^2} \hat{r}$$

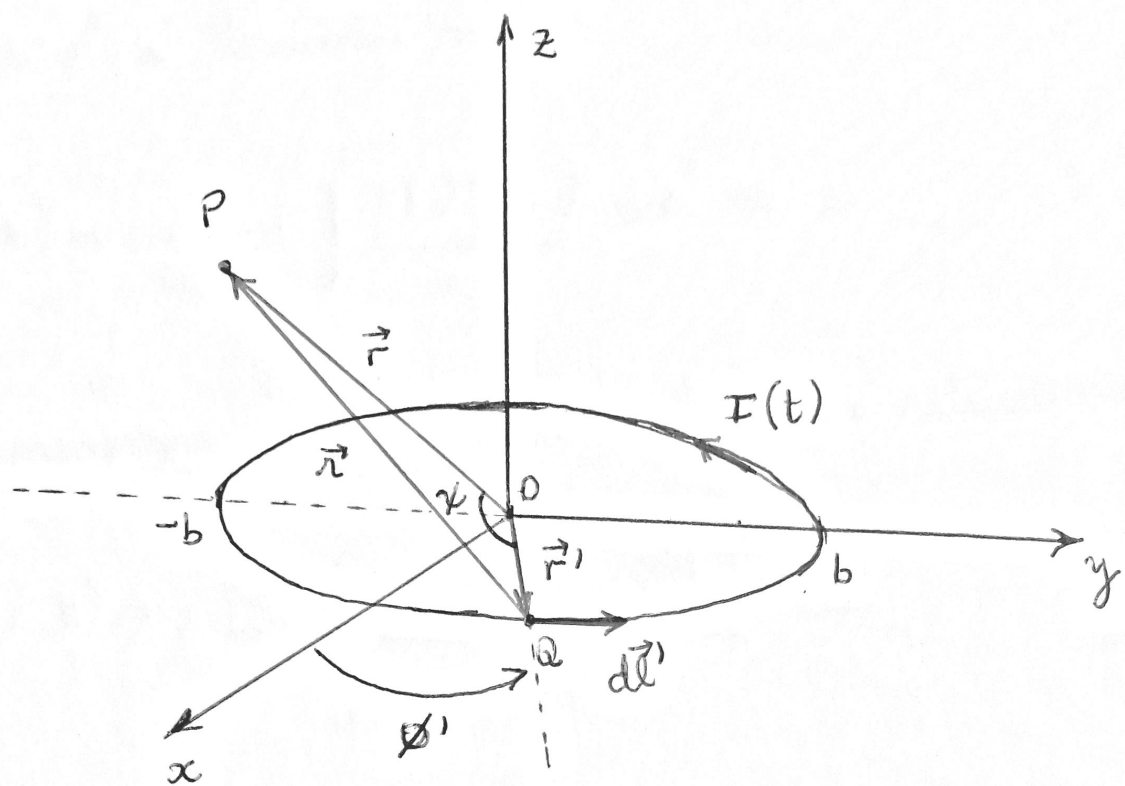
correspondendo a um fluxo radial e anisotrópico de energia.



Ou seja, nenhuma radiação é emitida ao longo do eixo do dipolo. A intensidade é máxima para direções perpendiculares ao eixo do dipolo.

## Radiação de dipolo magnético

(3)



O circuito acima de raio  $b$  é percorrido por uma corrente dependente do tempo da forma

$$I(t) = I_0 \cos(\omega t)$$

de forma que o momento de dipolo magnético do circuito é

$$\vec{m}(t) = \underbrace{\pi b^2 I_0 \cos(\omega t)}_{\equiv m_0} \hat{z} = m_0 \cos(\omega t) \hat{z}$$

Tomaremos o circuito como globalmente neutro.

Como o arame é neutro, o potencial escalar retardado é também nulo

(4)

$$V(\vec{r}, t) = \frac{1}{4\pi\epsilon_0} \int \frac{\rho(\vec{r}', t_r)}{r} dz' = 0$$

Determinemos, então, o potencial vetor retardado

$$\vec{A}(\vec{r}, t) = \frac{\mu_0}{4\pi} \int \frac{I(\vec{r}', t - r/c)}{r} d\vec{l}'$$

Sem perda de generalidade podemos tomar o ponto P sobre o plano xxz. Para essa isola, temos que

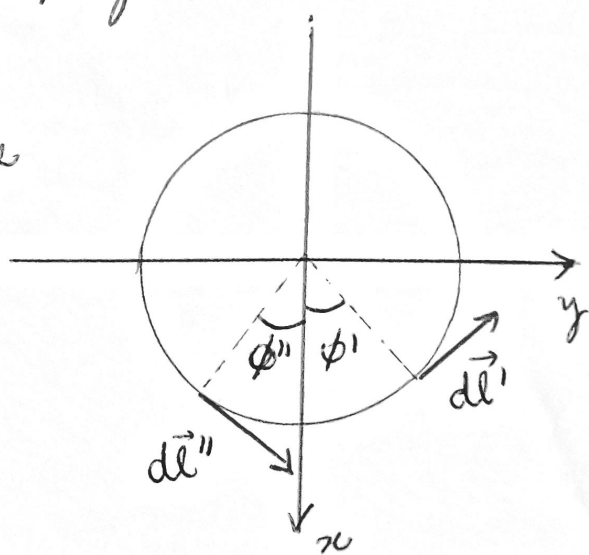
$$\hat{y} = \hat{\phi} \text{ em } P.$$

Decompondo o vetor  $d\vec{l}'$  em componentes cartesianas,

Temos

$$d\vec{l}' = -b \sin \phi' \hat{x} + b \cos \phi' \hat{y}$$

Dessa forma, a contribuição resultante dos dois elementos infinitesimais  $d\vec{l}'$  e  $d\vec{l}''$  (com  $\phi' + \phi'' = 2\pi - \phi''$ ) está na direção  $\hat{y}$ .



(5)

Portanto

$$\vec{A}(\vec{r}, t) = \frac{\mu_0 b I_0}{4\pi} \hat{j} \int_0^{2\pi} \frac{\cos[\omega(t - r/c)]}{r} \omega \phi' d\phi'$$

onde, pela lei dos cossenos aplicada ao Triângulo OQP

$$r = [r^2 + b^2 - 2rb \cos \psi]^{1/2}$$

Como  $\psi$  é ângulo entre  $\vec{r}$  e  $\vec{r}'$ , sua relação com  $\phi'$  pode ser obtida lembrando que

$$\vec{r} = r \sin \theta \hat{x} + r \cos \theta \hat{z} \quad e \quad \vec{r}' = b \cos \phi' \hat{x} + b \sin \phi' \hat{y}$$

Então

$$\vec{r} \cdot \vec{r}' = rb \cos \psi = rb \sin \theta \cos \phi' \Rightarrow \cos \psi = \sin \theta \cos \phi'$$



$$r = [r^2 + b^2 - 2rb \sin \theta \cos \phi']^{1/2}$$

$$= r \left[ 1 - 2 \frac{b}{r} \sin \theta \cos \phi' + \frac{b^2}{r^2} \right]^{1/2}$$

$\left. \qquad \qquad \qquad \right) r \gg b$

$$\approx r \left[ 1 - \frac{b}{r} \sin \theta \cos \phi' \right]$$

(6)

Ou seja

$$\frac{1}{r} \approx \frac{1}{r} \left[ 1 + \frac{b}{r} \sin\theta \cos\phi' \right] \quad p/ \quad r \gg b$$

Portanto

$$\cos[\omega(t - r/c)] \approx \cos[\omega(t - r/c) + \frac{\omega b}{c} \sin\theta \cos\phi']$$

$$= \cos[\omega(t - r/c)] \cos\left(\frac{\omega b}{c} \sin\theta \cos\phi'\right) - \sin[\omega(t - r/c)] \sin\left(\frac{\omega b}{c} \sin\theta \cos\phi'\right)$$

$$\approx \cos[\omega(t - r/c)] - \frac{\omega b}{c} \sin\theta \cos\phi' \sin[\omega(t - r/c)]$$

onde na última aproximação, assumimos

$$\frac{\omega b}{c} \ll 1$$

Isto é, estamos supondo que o comprimento de onda da radiação emitida é muito maior que o raio do circuito, mais precisamente

$$\frac{\omega b}{c} = \frac{2\pi b}{\lambda} \ll 1$$

(7)

Sendo assim

$$\frac{1}{r} \cos[\omega(t - r/c)] \approx \frac{1}{r} \left( 1 + \frac{b}{r} \sin\theta \cos\phi' \right)$$

$$x \left\{ \cos[\omega(t - r/c)] - \frac{\omega b}{c} \sin\theta \cos\phi' \sin[\omega(t - r/c)] \right\}$$

com

$$\frac{b}{r} \ll e \quad \frac{\omega b}{c} \ll 1$$

Mantendo apenas termos de primeira ordem em  $\frac{b}{r}$  e

$\frac{\omega b}{c}$ , podemos escrever

$$\vec{A}(\vec{r}, t) \approx \frac{\mu_0 I_0 b}{4\pi r} \hat{y} \int_0^{2\pi} \left\{ \cos[\omega(t - r/c)] \right.$$

$$+ b \sin\theta \cos\phi' \left( \frac{1}{r} \cos[\omega(t - r/c)] - \frac{\omega}{c} \sin[\omega(t - r/c)] \right) \right\} \cos\phi' d\phi'$$

$$= \frac{\mu_0 m_0}{4\pi} \frac{\sin\theta}{r} \left\{ \frac{1}{r} \cos[\omega(t - r/c)] - \frac{\omega}{c} \sin[\omega(t - r/c)] \right\} \hat{\phi}$$

onde usamos na última passagem

$$\int_0^{2\pi} \cos\phi' = 0, \quad \int_0^{2\pi} \cos^2\phi' = \pi \quad \text{e} \quad \hat{y} = \hat{\phi} \text{ em P}$$

Por fim, na zona de radiação

$$r \gg \frac{c}{\omega}$$

podemos escrever

$$\boxed{\vec{A}(r, t) \approx -\frac{\mu_0 m_0 \omega}{4\pi c} \left(\frac{\sin\theta}{r}\right) \sin[\omega(t - \frac{r}{c})] \hat{\phi}} \quad (b \ll \lambda \ll r)$$

— //

Campo eletromagnético na zona de radiação

$$\vec{E} = -\frac{\partial \vec{A}}{\partial t} \approx \frac{\mu_0 m_0 \omega}{4\pi c} \left(\frac{\sin\theta}{r}\right) \hat{\phi} \frac{\partial}{\partial t} \sin[\omega(t - \frac{r}{c})]$$

$$\vec{E} \approx \frac{\mu_0 m_0 \omega^2}{4\pi c} \left(\frac{\sin\theta}{r}\right) \cos[\omega(t - \frac{r}{c})] \hat{\phi}$$

$$\vec{B} = \vec{\nabla} \times \vec{A} = \frac{1}{r \sin\theta} \frac{\partial}{\partial \theta} (\sin\theta A_\phi) \hat{r} - \frac{1}{r} \frac{\partial}{\partial r} (r A_\phi) \hat{\theta}$$

$$\approx \frac{1}{r \sin\theta} \left(-\frac{\mu_0 m_0 \omega}{4\pi c}\right) \frac{1}{r} \frac{\partial}{\partial \theta} (\sin^2\theta) \overset{\sin[\omega(t - \frac{r}{c})]}{\hat{r}} + \frac{1}{r} \frac{\mu_0 m_0 \omega}{4\pi c} \frac{\sin\theta}{r} \frac{\partial}{\partial r} \overset{\sin[\omega(t - \frac{r}{c})]}{\hat{\theta}}$$

$$= -\frac{\mu_0 m_0 \omega}{4\pi c} \left(\frac{2 \cos\theta}{r^2}\right) \sin[\omega(t - \frac{r}{c})] \hat{r}$$

$$= \frac{\mu_0 m_0 \omega^2}{4\pi c^2} \left(\frac{\sin\theta}{r}\right) \cos[\omega(t - \frac{r}{c})] \hat{\theta}$$

(9)

Resumindo, na zona de radiação

$$\left\{ \begin{array}{l} \vec{E} \approx \frac{\mu_0 m_0 \omega^2}{4\pi c} \left( \frac{\sin\theta}{r} \right) \cos [\omega(t - \frac{r}{c})] \hat{\phi} \\ \vec{B} \approx -\frac{\mu_0 m_0 \omega^2}{4\pi c^2} \left( \frac{\sin\theta}{r} \right) \cos [\omega(t - \frac{r}{c})] \hat{\theta} \end{array} \right. \quad (b \ll \lambda \ll r)$$

Perceba que, assim como no caso do dipolo elétrico, na zona de radiação os campos  $\vec{E}$  e  $\vec{B}$  de um dipolo magnético são perpendiculares entre si, mas agora  $\vec{E} \parallel \hat{\phi}$  e  $\vec{B} \parallel \hat{\theta}$ .

O fluxo de energia é então

$$\vec{s} = \frac{1}{\mu_0} \vec{E} \times \vec{B} \approx \frac{\mu_0 m_0^2 \omega^4}{16\pi^2 c^3} \left( \frac{\sin\theta}{r} \right)^2 \cos^2 [\omega(t - \frac{r}{c})] \hat{r}$$

Portanto a intensidade é

$$\langle \vec{s} \rangle = \frac{\mu_0 m_0^2 \omega^4}{32\pi^2 c^3} \frac{\sin^2\theta}{r^2} \hat{r}$$

A potência total irradiada a partir do dipolo magnético é <sup>média</sup>

$$P = \sum \int \langle \vec{S} \rangle \cdot d\vec{a} = \frac{\mu_0 M_0^2 \omega^4}{16 \pi c^3} \int_0^{\pi} \sin^3 \theta d\theta = \underbrace{\frac{\mu_0 M_0^2 \omega^4}{12 \pi c^3}}_{= \frac{4}{3}}$$

A integração anterior foi feita sobre uma superfície  $\Sigma$  esférica de raio  $r$  e o resultado, assim como no caso elétrico é independente desse raio.

Portanto, observadores a distâncias arbitrariamente grandes do dipolo, equipados com detectores de sensibilidade apropriadas devem ser capazes de receber parte dessa potência emitida.

A dependência angular da intensidade da radiação no caso magnético é idêntica à do caso elétrico, ou seja

$$\langle \vec{S} \rangle_{mag} \propto \sin^2 \theta$$

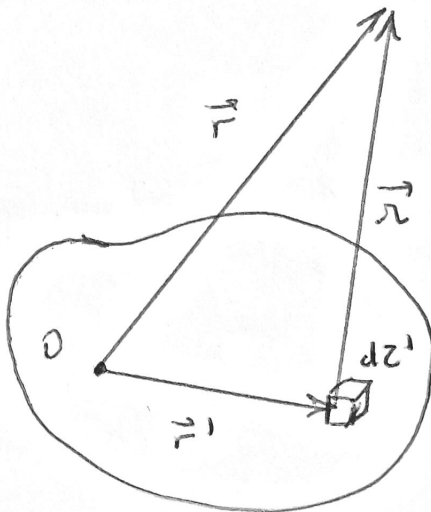
$$\langle \vec{S} \rangle_{el} \propto \sin^2 \theta$$

Radiação de uma distribuição arbitrária de cargas e correntes

Os dipolos elétricos e magnéticos harmonicamente oscilantes são os sistemas irradiantes mais simples.

Trataremos agora o caso de uma distribuição de cargas e correntes bastante genérica. Uma das poucas simplificações introduzidas será que essas distribuições encontram-se localizadas em torno da origem. E seu centro de massa encontrará-se em repouso.

$$\mathbf{V}(\vec{r}, t) = \frac{1}{4\pi\epsilon_0} \int \frac{\rho(\vec{r}', t - r/c)}{r} d\vec{z}'$$



$$\vec{A}(\vec{r}, t) = \frac{\mu_0}{4\pi} \int \frac{\vec{j}(\vec{r}', t - r/c)}{r} d\vec{z}'$$

com  $r^2 = r^2 + r'^2 - 2\vec{r} \cdot \vec{r}'$

¶

$$r = r \left[ 1 - \frac{2\hat{r} \cdot \vec{r}'}{r} + \left( \frac{r'}{r} \right)^2 \right]^{1/2} \underset{r \gg r'}{\approx} r \left[ 1 - \frac{\hat{r} \cdot \vec{r}'}{r} \right]$$

$$\frac{1}{r} \underset{r \gg r'}{\approx} \frac{1}{r} \left[ 1 + \frac{\hat{r} \cdot \vec{r}'}{r} \right]$$

(12)

Perceba que ao varrer as distribuições de carga e corrente nas integrais anteriores, o tempo retardado

$$t_r = t - \frac{r}{c}$$

também varia.

Para realizar as integrações, faremos uma expansão de  $\rho(\vec{r}', t - r/c)$  em série de Taylor em torno de um instante retardado fixo  $t_0$ .

Por exemplo, podemos tomar  $t_0$  como o instante retardado correspondente ao elemento de volume  $d\tau'$  localizado na origem 0 ( $\vec{r}' = \vec{0}$ ). Nesse caso

$$t - \frac{r}{c} = t - \frac{r}{c} + \underbrace{\frac{1}{c} \hat{r} \cdot \vec{r}'}_{\equiv t_0} = t_0 + \frac{1}{c} \hat{r} \cdot \vec{r}'$$

$\equiv t_0$  (instante retardado na origem)

Expandido  $\rho$  em torno de  $t=t_0$ , temos

$$\begin{aligned} \rho(\vec{r}', t - r/c) &= \rho(\vec{r}', t_0) + \dot{\rho}(\vec{r}', t_0) \left( \frac{\hat{r} \cdot \vec{r}'}{c} \right) + \frac{1}{2} \ddot{\rho}(\vec{r}', t_0) \left( \frac{\hat{r} \cdot \vec{r}'}{c} \right)^2 \\ &\quad + \dots \end{aligned}$$

Aqui, reteremos apenas termos até ordem 1 em

$$\frac{\hat{r} \cdot \vec{r}'}{c}, \text{ ou seja}$$

$$p(\vec{r}', t - r/c) \approx p(\vec{r}', t_0) + \dot{p}(\vec{r}', t_0) \left( \frac{\hat{r} \cdot \vec{r}'}{c} \right)$$

O significado físico dessa aproximação não é tão ~~claro~~ direto de visualizar para uma distribuição tão arbitrária de varga.

Entretanto, quando particularizada para os 2 sistemas harmônios ressonantes tratados anteriormente, os termos desprezados são todos proporcionais a

$$\frac{\omega r'}{c} \quad (\text{provar!})$$

Portanto, podemos intuir que a aproximação deve ser válida para os casos em que a dimensão típica da região contendo  $p$  e  $\vec{J}$  é muito menor do que o comprimento de onda da radiação emitida

$$r'_{\max} \ll \lambda$$

Nessas condições, podemos escrever p/ V

(14)

$$\begin{aligned} \cdot V(\vec{r}, t) &\simeq \frac{1}{4\pi\epsilon_0} \int \frac{1}{r} \left( 1 + \frac{\hat{r} \cdot \vec{r}'}{r} \right) \left\{ \rho(\vec{r}', t_0) + \dot{\rho}(\vec{r}', t_0) \frac{\hat{r} \cdot \vec{r}'}{c} \right\} d\vec{z}' \\ &= \frac{1}{4\pi\epsilon_0} \left\{ \underbrace{\frac{1}{r} \int \rho(\vec{r}', t_0) d\vec{z}'}_{= Q} + \frac{1}{rc} \hat{r} \cdot \int \dot{\rho}(\vec{r}', t_0) \vec{r}' d\vec{z}' \right. \\ &\quad \left. + \frac{1}{r^2} \underbrace{\hat{r} \cdot \int \rho(\vec{r}', t_0) \vec{r}' d\vec{z}'}_{= \vec{P}(t_0) \equiv \vec{P}_0} + \frac{1}{cr^2} \int \dot{\rho}(\vec{r}', t_0) (\hat{r} \cdot \vec{r}')^2 d\vec{z}' \right\} \end{aligned}$$

Desprezando termos de segunda ordem, temos

$$V(\vec{r}, t) \simeq \frac{1}{4\pi\epsilon_0} \left\{ \frac{Q}{r} + \frac{\vec{P}_0 \cdot \hat{r}}{r^2} + \frac{\hat{r} \cdot \frac{\partial}{\partial t} \left[ \underbrace{\int \rho(\vec{r}', t_0) \vec{r}' d\vec{z}'}_{= \vec{P}_0} \right]}{rc} \right\}$$

Então

$$\begin{aligned} V(\vec{r}, t) &\simeq \underbrace{\frac{Q}{4\pi\epsilon_0 r}}_{\text{monópole elétrico}} + \underbrace{\frac{1}{4\pi\epsilon_0} \left\{ \frac{\vec{P}_0 \cdot \hat{r}}{r^2} + \frac{\dot{\vec{P}}_0 \cdot \hat{r}}{rc} \right\}}_{\text{dipolo elétrico}} \end{aligned}$$

(15)

A expansão anterior p/  $V(\vec{r}, t)$  deve ser vista como uma generalização daquela para o caso da elestática (expansão multipolar)

$$V(\vec{r}) = \frac{1}{4\pi\epsilon_0} \sum_{n=0}^{\infty} \frac{1}{r^{n+1}} \int (r')^n P_n(\cos\theta') \rho(\vec{r}') d\Omega'$$

onde  $P_n(\cos\theta)$  é polinômio de Legendre.

De maneira análoga para  $\vec{A}(\vec{r}, t)$

$$\begin{aligned} \vec{A}(\vec{r}, t) &\approx \frac{\mu_0}{4\pi} \int \frac{1}{r} \left( 1 + \frac{\hat{r} \cdot \vec{r}'}{r} \right) \left\{ \vec{j}(\vec{r}', t_0) + \dot{\vec{j}}(\vec{r}', t_0) \left( \frac{\hat{r} \cdot \vec{r}'}{c} \right) \right\} d\Omega' \\ &= \frac{\mu_0}{4\pi} \left\{ \underbrace{\frac{1}{r} \int \vec{j}(\vec{r}', t_0) d\Omega'}_{= (\vec{d}\vec{p}/dt)_{t_0}} + \frac{1}{rc} \hat{r} \cdot \int \dot{\vec{j}}(\vec{r}', t_0) \vec{r}' d\Omega' \right. \\ &\quad \left. + \frac{1}{r^2} \hat{r} \cdot \int \vec{j}(\vec{r}', t_0) \vec{r}' d\Omega' + \frac{1}{cr^2} \int \dot{\vec{j}}(\vec{r}', t_0) (\hat{r} \cdot \vec{r}')^2 d\Omega' \right\} \end{aligned}$$

$$\approx \frac{\mu_0}{4\pi} \frac{\vec{P}_0}{r} + \dots$$

Termo de ordem mais baixa da expansão de  $\vec{A}$  já envolve o momento de dipolo  
(não existe monópole magnético!)

Na última passagem, usamos o fato de que para uma configuração de cargas e correntes confinadas num volume  $\mathcal{V}$ , vale que

$$\int_{\mathcal{V}} \vec{J} \cdot d\vec{z}' = \frac{d\vec{P}}{dt} \quad (\text{mostrar!})$$

— //

Campo eletromagnético na zona de radiação

Na zona de radiação, os termos dominantes de  $\vec{E}$  e  $\vec{B}$  devem cair com  $1/r$ .

Então, vemos imediatamente quais são os termos que contribuem para  $\vec{E}$  vindos de  $\nabla$

$$V(\vec{r}, t) \approx \underbrace{\frac{\rho}{4\pi\epsilon_0} \frac{1}{r}}_{\text{sub-dominantes na zona de radiação}} + \underbrace{\frac{1}{4\pi\epsilon_0} \frac{\vec{p}_0 \cdot \hat{r}}{r^2}}_{\text{dominante na zona de radiação}} + \underbrace{\frac{\vec{p}_0 \cdot \hat{r}}{rc} \frac{1}{4\pi\epsilon_0}}_{\text{dominante na zona de radiação}}$$

sub-dominantes na zona de radiação

dominante na zona de radiação

OU seja, o termo de monopolo não contribui para a radiação. (17)

Nós deve mostrar que até termos de ordem  $1/r$ , temos

$$\vec{\nabla}V \approx -\frac{1}{4\pi\epsilon_0 c^2} \frac{[\hat{r} \cdot \ddot{\vec{p}}(t_0)] \hat{r}}{r}$$

e

$$\frac{\partial \vec{A}}{\partial t} \approx \frac{\mu_0}{4\pi} \frac{\ddot{\vec{p}}_0(t_0)}{r}$$

e

$$\vec{\nabla} \times \vec{A} \approx -\frac{\mu_0}{4\pi r c} [\hat{r} \times \ddot{\vec{p}}_0(t_0)]$$

Portanto

$$\left\{ \begin{array}{l} \vec{E} \approx \frac{\mu_0}{4\pi r} [(\hat{r} \cdot \ddot{\vec{p}}) \hat{r} - \ddot{\vec{p}}] = \frac{\mu_0}{4\pi r} [\hat{r} \times (\hat{r} \times \ddot{\vec{p}})] \\ \vec{B} \approx -\frac{\mu_0}{4\pi r c} [\hat{r} \times \ddot{\vec{p}}] \end{array} \right.$$

Em coordenadas esféricas com  $\vec{p} \parallel \hat{z}$

$$\left\{ \begin{array}{l} \vec{E}(r, \theta, t) \approx \frac{\mu_0 \ddot{p}(t_0)}{4\pi} \left( \frac{\sin\theta}{r} \right) \hat{\theta} \\ \vec{B}(r, \theta, t) \approx \frac{\mu_0 \ddot{p}(t_0)}{4\pi c} \left( \frac{\sin\theta}{r} \right) \hat{\phi} \end{array} \right.$$

O vetor de Poynting

$$\vec{s} = \frac{1}{\mu_0} \vec{E} \times \vec{B} \approx \frac{\mu_0}{16\pi^2 c} [\ddot{p}(t_0)]^2 \frac{\sin^2\theta}{r^2} \hat{r}$$

Intensidade

$$\langle \vec{s} \rangle \approx \frac{\mu_0}{16\pi^2 c} \frac{\sin^2\theta}{r^2} \langle [\ddot{p}(t_0)]^2 \rangle \hat{r}$$

Potência instantânea irradiada

$$P \approx \int \vec{s} \cdot d\vec{a} = \frac{\mu_0 \ddot{p}^2}{6\pi c}$$

Se aplicados os vossos do dipolo elétrico

$$p(t) = p_0 \cos(\omega t)$$

as fórmulas anteriores se reduzem às obtidas especificamente para esse sistema.

Além disso, para o dipolo elétrico puro, temos

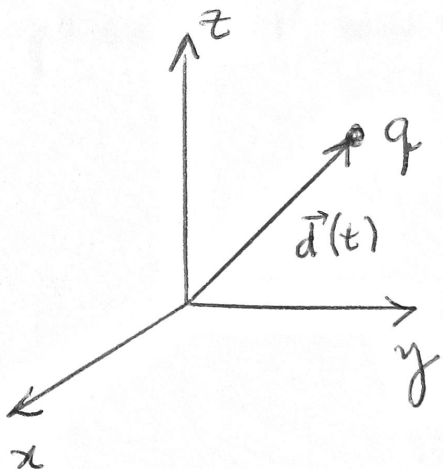
$$\ddot{p} = -\omega^2 p_0 \cos(\omega t)$$

Já para uma única carga  $q$  distante da origem uma distância dependente do tempo  $\vec{d}(t)$ , temos

$$\vec{p}(t) = q \vec{d}(t)$$



$$\ddot{\vec{p}}(t) = q \ddot{\vec{d}} = q \vec{a}$$



Portanto, a potência instantânea irradiada por essa carga é

$$P = \frac{\mu_0 \dot{\vec{p}}^2}{6\pi c} = \frac{\mu_0 q^2 a^2}{6\pi c} \Leftrightarrow (\text{Fórmula de Larmor})$$

(20)

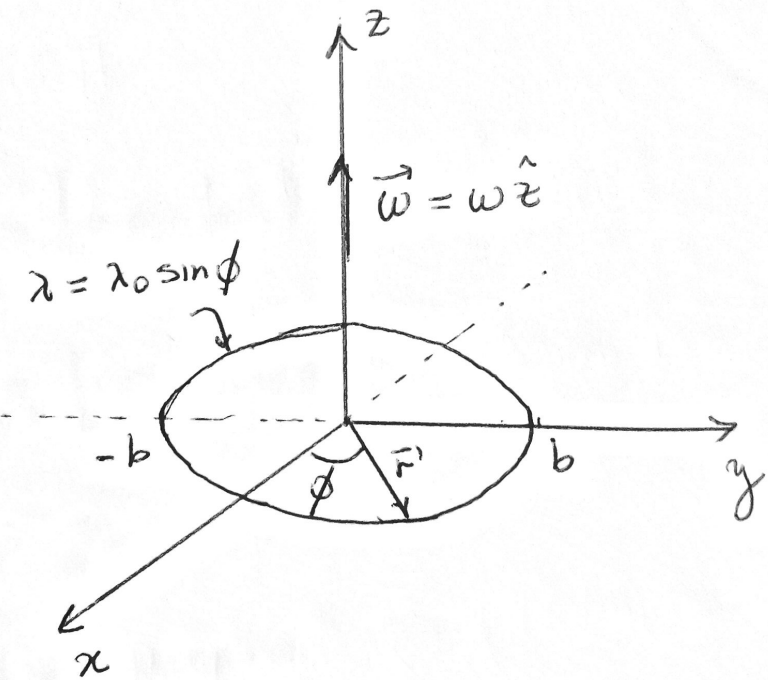
## Exercício

Um anel circular de raio  $b$  e feito de material isolante está contido no plano  $xy$  e centrado na origem. O anel possui uma densidade linear não-uniforme de varga

$$\lambda(\phi) = \lambda_0 \sin \phi$$

onde  $\lambda_0 = \text{cte}$  e  $\phi$  é ângulo azimutal. Essa pode ser considerada a configuração em  $t=0$ .

O anel passa a girar com velocidade angular constante  $\omega$  em torno do eixo  $z$ . Determine a potência  $P$  irradiada



(21)

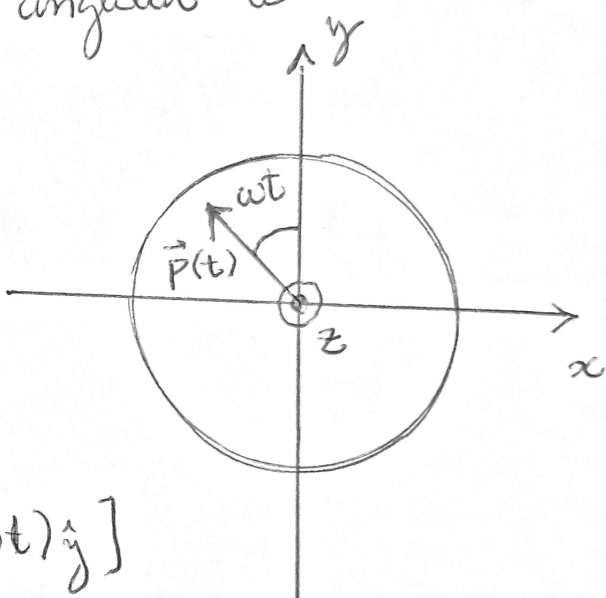
O momento de dipolo em  $t=0$  pode ser obtido por

$$\vec{P}(0) = \int_{0}^{2\pi} \lambda(\phi) \vec{r}' d\phi' = \int_{0}^{2\pi} (\lambda_0 \sin\phi) (b \cos\phi \hat{i} + b \sin\phi \hat{j}) b d\phi$$

$$= \lambda_0 b^2 \int_{0}^{2\pi} \sin^2 \phi d\phi \hat{j} = \pi b^2 \lambda_0 \hat{j} = \vec{P}_0 = p_0 \hat{j}$$

Num instante de tempo  $t > 0$ , esse dipolo gira em torno do eixo  $z$  com velocidade angular  $\omega$

$$\vec{P}(t) = P_0 \left[ -\sin(\omega t) \hat{x} + \cos(\omega t) \hat{y} \right]$$



Portanto

$$\dot{\vec{P}}(t) = \omega P_0 \left[ -\cos(\omega t) \hat{x} - \sin(\omega t) \hat{y} \right]$$

$$\ddot{\vec{P}}(t) = \omega^2 P_0 \left[ \sin(\omega t) \hat{x} - \cos(\omega t) \hat{y} \right]$$

$$= -\omega^2 \vec{P}(t)$$

Potência invadada

$$P = \frac{\mu_0 \vec{P}^2}{6\pi c} = \frac{\mu_0}{6\pi c} \omega^4 P_0^2 = \frac{\pi \mu_0 b^4 \lambda_0^2 \omega^4}{6c}$$